



**UNIVERSIDADE FEDERAL
DE SANTA CATARINA**

CENTRO TECNOLÓGICO
DEPARTAMENTO DE ENGENHARIA MECÂNICA

EMC 5412 – TRANSFERÊNCIA DE CALOR E
MECÂNICA DOS FLUIDOS COMPUTACIONAL
PROFESSOR ANTONIO FÁBIO CARVALHO DA SILVA

Trabalho 4 Condução Bidimensional

GUILHERME GWADERA

FLORIANÓPOLIS, 27 DE SETEMBRO DE 2018

1 Introdução

O problema proposto considera uma aleta plana de alumínio ($k = 230 \text{ W/m}^\circ\text{C}$) com perfil retangular, de comprimento L e espessura t . A temperatura na base da aleta é T_b e a extremidade em $x = L$ é admitida como adiabática. Há troca de calor pelas superfícies superior e inferior da aleta com um fluido a T_∞ e coeficiente convectivo de troca de calor h . Neste trabalho, foram escolhidos os valores de $T_b = 100^\circ\text{C}$, $T_\infty = 20^\circ\text{C}$, $L = 10 \text{ cm}$ e $t = 1 \text{ mm}$. Foi também escolhido o valor de $w = 1 \text{ m}$, sendo w a profundidade da aleta.

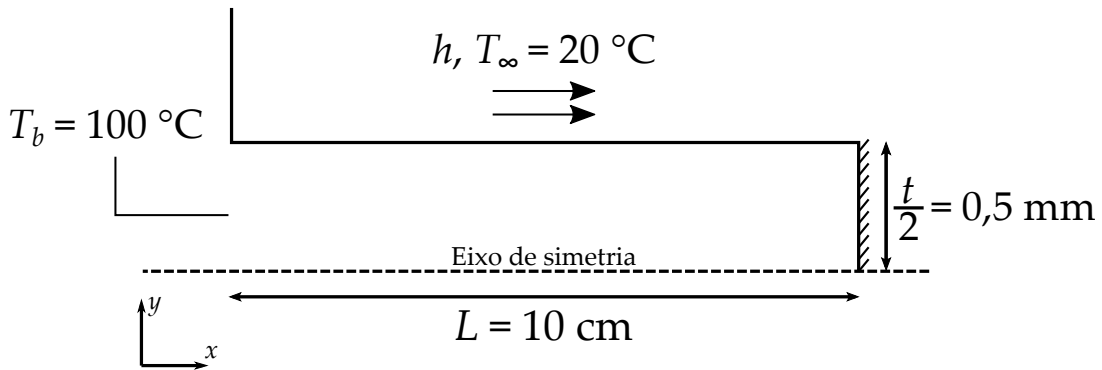


Figura 1: Representação esquemática do problema.

Considerando que a transferência de calor ocorre em estado estacionário, que não há geração de calor, e que as propriedades físicas do material da aleta são constantes, um balanço de energia sobre o sistema fornece a seguinte equação.

$$\frac{\partial}{\partial x} \left(k \frac{\partial T}{\partial x} \right) + \frac{\partial}{\partial y} \left(k \frac{\partial T}{\partial y} \right) = 0 \quad (1)$$

Na qual, são aplicadas as seguintes condições de contorno, levando em conta a simetria do problema:

$$\begin{aligned} \text{em } x = 0 \quad T &= T_b \\ \text{em } x = L \quad \frac{\partial T}{\partial x} &= 0 \\ \text{em } y = 0 \quad \frac{\partial T}{\partial y} &= 0 \\ \text{em } y = t/2 \quad -k \frac{\partial T}{\partial y} &= h(T - T_\infty) \end{aligned}$$

Supondo que não há variação de temperatura na direção transversal da aleta, a distribuição da temperatura ao longo do comprimento e o calor trocado pela superfície da aleta são dados por

$$\frac{T(x) - T_\infty}{T_b - T_\infty} = \frac{\cosh m(L - x)}{\cosh mL} \quad (2)$$

$$q_f = \sqrt{hPkA_c} (T_b - T_\infty) \tanh mL \quad (3)$$

onde P é o perímetro da aleta e A_c é a área da seção transversal, dados por

$$P = 2w + 2t = 2 \times 1 \text{ m} + 2 \times 1 \text{ mm} = 2,002 \text{ m}$$

$$A_c = wt = 1 \text{ m} \times 1 \text{ mm} = 1 \times 10^{-3} \text{ m}^2$$

e o coeficiente m é dado por

$$m^2 = \frac{hP}{kA_c}$$

Para uma aleta com área da seção transversal uniforme e extremidade adiabática, a eficiência da aleta é dada por

$$\eta_f = \frac{q_f}{q_{\max}} = \frac{\tanh mL}{mL} \quad (4)$$

Para que a aleta do problema possua uma eficiência de 60%, ou seja, $\eta_f = 0,6$, deve-se resolver a Equação (4), de forma a encontrar o valor de h que satisfaça essa condição. Dessa maneira, utilizando P e A_c calculados anteriormente, é encontrado um valor de $h = 26,2721 \text{ W/m}^2 \text{ } ^\circ\text{C}$.

Com o valor de h encontrado, é possível obter a distribuição exata de temperatura ao longo do comprimento da aleta, pela Equação (2), e ilustrado na Figura 2. Pela Equação (3), é encontrado que a aleta troca um calor q_f de 252,46 W pelas superfícies inferior e superior, ou considerando somente a metade superior pela simetria do problema, $q_f = 126,23 \text{ W}$. Este último valor será utilizado para comparar o resultado numérico obtido pelo método dos volumes finitos.

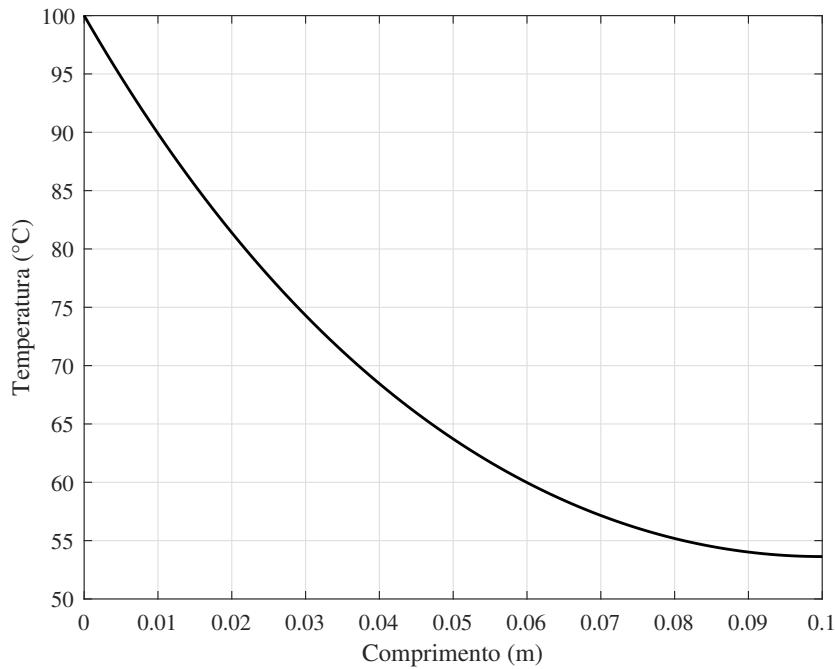


Figura 2: Perfil de temperatura encontrado pela Equação (2).

2 Discretização

Para a resolução numérica, a equação diferencial que rege o problema foi discretizada pelo método dos volumes finitos. Fazendo a integração da Equação (1) sobre um volume de controle de espessura Δx , altura Δy e profundidade unitária, com os pontos da malha localizados exatamente nos centros dos volumes, e admitindo que a temperatura varie linearmente entre os pontos, é obtida a Equação (5).

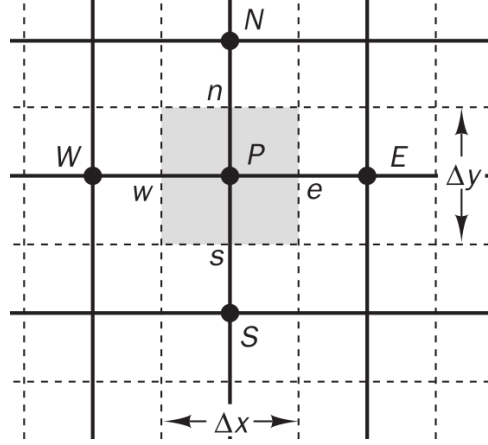


Figura 3: Volumes de controle para a integração.

$$\begin{aligned}
 & \int_{x_w}^{x_e} \int_{y_s}^{y_n} \left[\frac{\partial}{\partial x} \left(k \frac{\partial T}{\partial x} \right) + \frac{\partial}{\partial y} \left(k \frac{\partial T}{\partial y} \right) \right] dy dx = 0 \\
 & \left[\left(k \frac{\partial T}{\partial x} \right)_e - \left(k \frac{\partial T}{\partial x} \right)_w \right] \Delta y + \left[\left(k \frac{\partial T}{\partial y} \right)_n - \left(k \frac{\partial T}{\partial y} \right)_s \right] \Delta x = 0 \\
 & \frac{k_e(T_E - T_P)}{\delta x_e} \Delta y - \frac{k_w(T_P - T_W)}{\delta x_w} \Delta y + \frac{k_n(T_N - T_P)}{\delta x_n} \Delta x - \frac{k_s(T_P - T_S)}{\delta x_s} \Delta x = 0 \\
 & \boxed{a_p T_P = a_e T_E + a_w T_W + a_n T_N + a_s T_S} \quad (5)
 \end{aligned}$$

Onde os coeficientes a_e, a_w, a_n, a_s e a_p são dados por

$$\begin{aligned}
 a_e &= \frac{k_e \Delta y}{\delta x_e} & a_w &= \frac{k_w \Delta y}{\delta x_w} \\
 a_n &= \frac{k_n \Delta x}{\delta y_n} & a_s &= \frac{k_s \Delta x}{\delta y_s}
 \end{aligned}$$

$$a_p = \sum a_{nb} = a_e + a_w + a_n + a_s$$

Na discretização do domínio de cálculo da aleta, os pontos centrais dos volumes das fronteiras direita, inferior e superior foram posicionados junto à fronteira. O domínio foi dividido em N_x volumes na direção do eixo x , e em N_y volumes na direção do eixo y , conforme mostra a Figura 4. O número total de volumes de controle é dado por $N = N_x \cdot N_y$. Os pontos estão todos igualmente espaçados em $\delta x = \Delta x$ na direção x e

em $\delta y = \Delta y$ na direção y , sendo que Δx e Δy são calculados conforme as Equações (6) e (7).

$$\Delta x = \frac{L}{N_x - 0,5} \quad (6)$$

$$\Delta y = \frac{L}{N_y - 1} \quad (7)$$

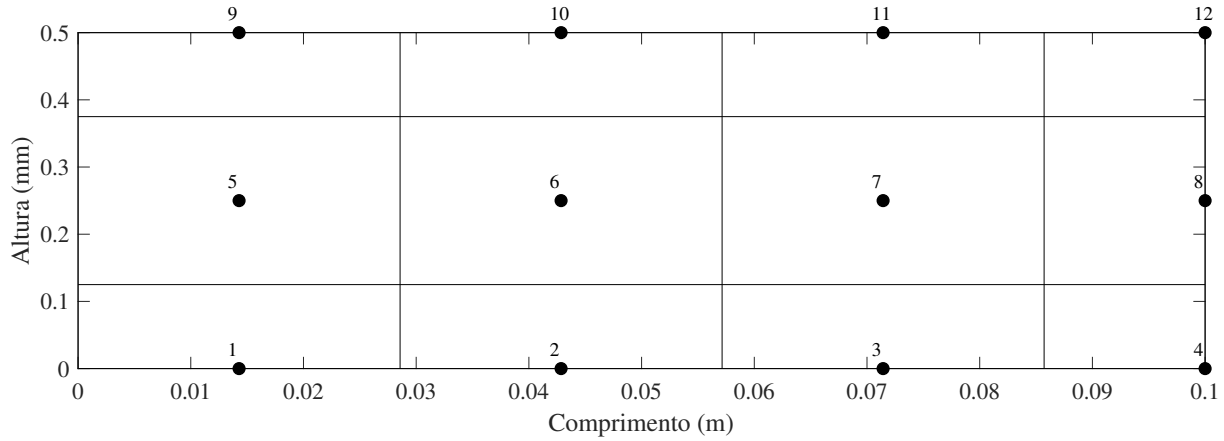


Figura 4: Discretização do domínio em volumes de controle, com $N_x = 4$ e $N_y = 3$.

Na fronteira esquerda (pontos 1, 5 e 9), a condição de contorno prescreve uma temperatura nas faces oeste dos volumes de controle ali posicionados. Fazendo a integração da Equação (1) para este caso, considerando a temperatura na face w como T_b , obtém-se

$$\frac{k_e(T_E - T_P)}{\delta x_e} \Delta y - \frac{k_w(T_P - T_b)}{\Delta x/2} \Delta y + \frac{k_n(T_N - T_P)}{\delta x_n} \Delta x - \frac{k_s(T_P - T_S)}{\delta x_s} \Delta x = 0$$

$$\left[\frac{k_e \Delta y}{\delta x_e} + \frac{k_n \Delta x}{\delta y_n} + \frac{k_s \Delta x}{\delta y_s} + \frac{k_w \Delta y}{\Delta x/2} \right] T_P = \left(\frac{k_e \Delta y}{\delta x_e} \right) T_E + \left(\frac{k_n \Delta x}{\delta y_n} \right) T_N + \left(\frac{k_s \Delta x}{\delta y_s} \right) T_S + \left(\frac{k_w \Delta y}{\Delta x/2} \right) T_b$$

$$\boxed{a_p T_P = a_e T_E + a_n T_N + a_s T_S + b}$$

$$b = \left(\frac{k_w \Delta y}{\Delta x/2} \right) T_b$$

$$a_p = a_e + a_n + a_s + \frac{k_w \Delta y}{\Delta x/2}$$

Tanto na fronteira direita quanto na inferior, a condição de contorno é de fluxo de calor nulo. Para a discretização, isso se traduz pelo cancelamento dos termos a_e nos

pontos da fronteira direita (4, 8 e 12), e pelo cancelamento dos termos a_s nos pontos da fronteira inferior (1 a 4).

Na fronteira superior, o fluxo é dado pela condição de contorno convectiva. Realizando novamente a integração da Equação (1), levando em conta que $-k \partial T / \partial y = h(T_P - T_\infty)$ na face norte do volume de controle, obtém-se

$$\frac{k_e(T_E - T_P)}{\delta x_e} \Delta y - \frac{k_w(T_P - T_W)}{\delta x_w} \Delta y + h(T_\infty - T_P) \Delta x - \frac{k_s(T_P - T_S)}{\delta x_s} \Delta x = 0$$

$$\left[\frac{k_e \Delta y}{\delta x_e} + \frac{k_w \Delta y}{\delta x_w} + \frac{k_s \Delta x}{\delta y_s} + h \Delta x \right] T_P = \left(\frac{k_e \Delta y}{\delta x_e} \right) T_E + \left(\frac{k_w \Delta y}{\delta x_w} \right) T_N + \left(\frac{k_s \Delta x}{\delta y_s} \right) T_S + h T_\infty \Delta x$$

$$\boxed{a_p T_P = a_e T_E + a_w T_W + a_s T_S + b}$$

$$b = h T_\infty \Delta x$$

$$a_p = a_e + a_w + a_s + h \Delta x$$

Com a equação diferencial e todas as condições de contorno discretizadas, é construído um sistema de equações linear a partir das equações algébricas em cada ponto da malha. A distribuição bidimensional da temperatura na aleta é obtida pela resolução do sistema linear de equações. Com o perfil de temperatura, é então calculado o calor trocado pela aleta, avaliando tanto o calor que entra pela base, quanto o calor trocado por convecção. O calor é calculado pela soma de todos os fluxos de calor em cada face dos volumes de fronteira, conforme a Equação (8) para a fronteira oeste e a Equação (9) para a fronteira norte, nas quais A_w e A_n são as áreas de cada face oeste e norte, respectivamente.

$$q_{\text{entra}} = \sum \frac{k_w A_w}{\Delta x / 2} (T_b - T_P) \quad (8)$$

$$q_{\text{sai}} = \sum h A_n (T_P - T_\infty) \quad (9)$$

Para a comparação com os valores exatos de temperatura obtidos pela Equação (2), foi tomada a média das temperaturas em cada seção transversal da aleta, ou seja, em cada posição x da malha. Para a comparação com os valores de calor, foi calculado o erro relativo entre o calor que sai da aleta e o valor calculado na seção anterior (q_f), conforme a equação abaixo.

$$\text{Erro} = \frac{|q_{\text{sai}} - q_f|}{q_f} \quad (10)$$

3 Resultados

O problema foi primeiramente resolvido utilizando a malha da Figura 4, e depois refinando o número de volumes para avaliar a influência do mesmo. A Figura 5 mostra os perfis de temperatura em relação ao resultado exato usando dois tamanhos de malha diferentes. Nota-se que no perfil com a malha mais grossa os valores de temperatura estão um pouco abaixo do valor exato, porém com a malha ligeiramente refinada, as temperaturas já coincidem com o resultado analítico.

Nas Figuras 6 e 7 estão ilustradas as curvas de isotermas na aleta. Neste caso, ao utilizar uma malha mais refinada, as posições das isotermas se alteram levemente. Pode-se observar que a variação na direção transversal da aleta é insignificante, visto que as isotermas ao longo do comprimento são retas. Portanto, conclui-se que a hipótese de transferência de calor unidimensional utilizada para a dedução da solução analítica é correta.

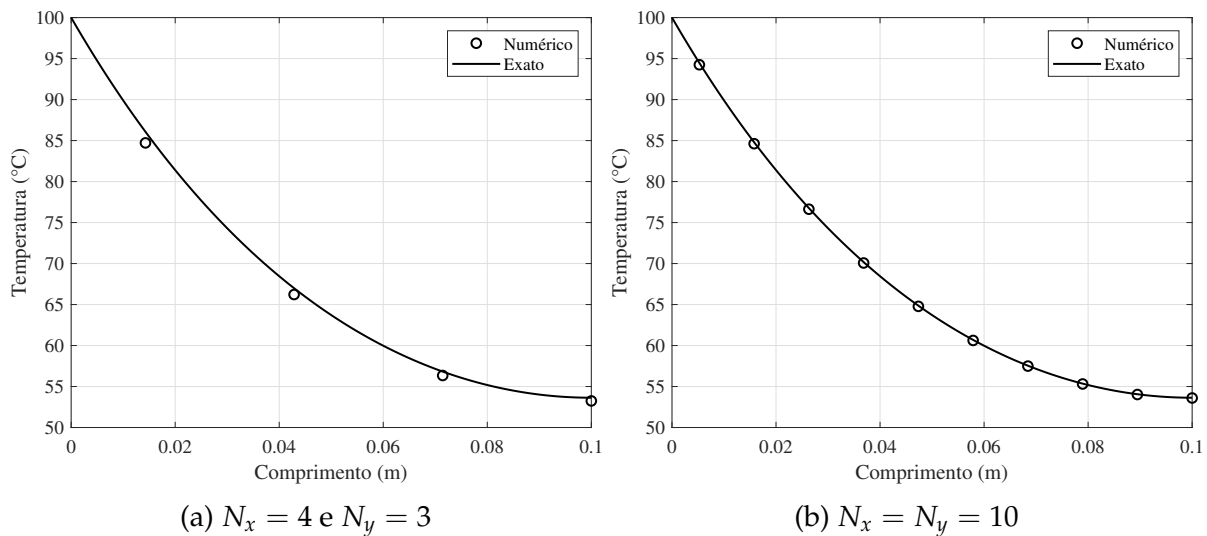


Figura 5: Comparação dos perfis de temperatura com o resultado analítico.

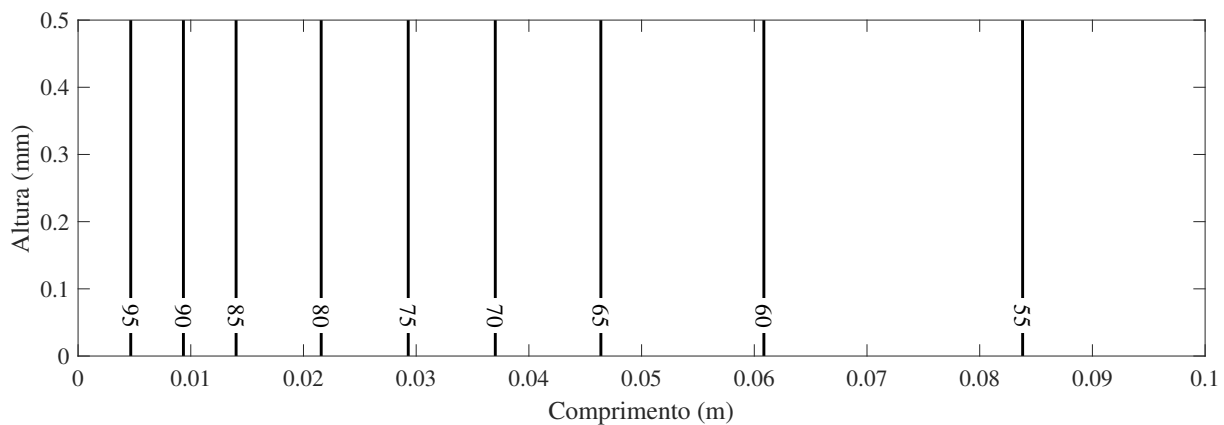


Figura 6: Isotermas (°C) na aleta para $N_x = 4$ e $N_y = 3$.

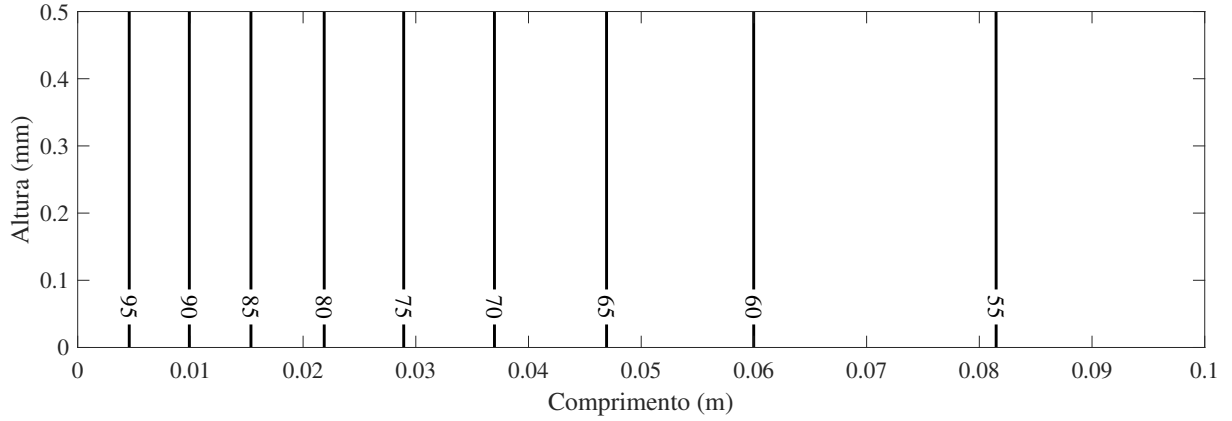


Figura 7: Isotermas ($^{\circ}\text{C}$) na aleta para $N_x = N_y = 10$.

Calculando a quantidade de calor que entra e sai da aleta, pelas Equações (8) e (9), e fazendo a diferença para encontrar o balanço de energia, o resultado é o que está apresentado na Tabela 1 para vários tamanhos de malha e $N_y = N_x$. A variação do erro com o número de volumes está ilustrado na Figura 8. Os valores de entrada e saída de calor da aleta estão de acordo um com o outro, possuindo uma diferença da ordem de 10^{-7} ou menor, atribuída às aproximações do método numérico. O erro do calor entre o valor calculado pelo método numérico e o valor exato também não possui uma grande diferença, visto que o erro relativo é menor que 1% para malhas relativamente grossas, mostrando que o valor calculado numericamente é bastante próximo do real.

N_x e N_y	q_{entra} (W)	q_{sai} (W)	Balanço (W)	Erro (%)
5	124,2352	124,2352	$-7,360 \times 10^{-9}$	1,5818
10	125,7124	125,7124	$-1,709 \times 10^{-8}$	0,4116
15	125,9610	125,9610	$-9,901 \times 10^{-8}$	0,2147
20	126,0448	126,0448	$1,603 \times 10^{-7}$	0,1482
30	126,1033	126,1033	$3,792 \times 10^{-8}$	0,1019
40	126,1234	126,1234	$9,089 \times 10^{-7}$	0,0860
50	126,1326	126,1326	$5,062 \times 10^{-7}$	0,0787

Tabela 1: Calores de entrada e saída e balanço de energia.

Como a solução 1D do problema supõe que não há variação na direção transversal devido a pequena da aleta, o programa implementado para este trabalho foi utilizado para investigar a validade dessa hipótese. Para isso, a espessura da aleta foi variada na faixa de 5 mm a 50 mm, mantendo a eficiência da aleta em 60% e o mesmo comprimento. As diferentes distribuições de temperatura obtidas ao variar a espessura estão apresentadas na Figura 9. É possível observar que para espessuras maiores, a partir dos 10 mm a temperatura começa a ter uma variação no sentido vertical. Esse resultado mostra que a solução 1D é realmente válida para espessuras pequenas.

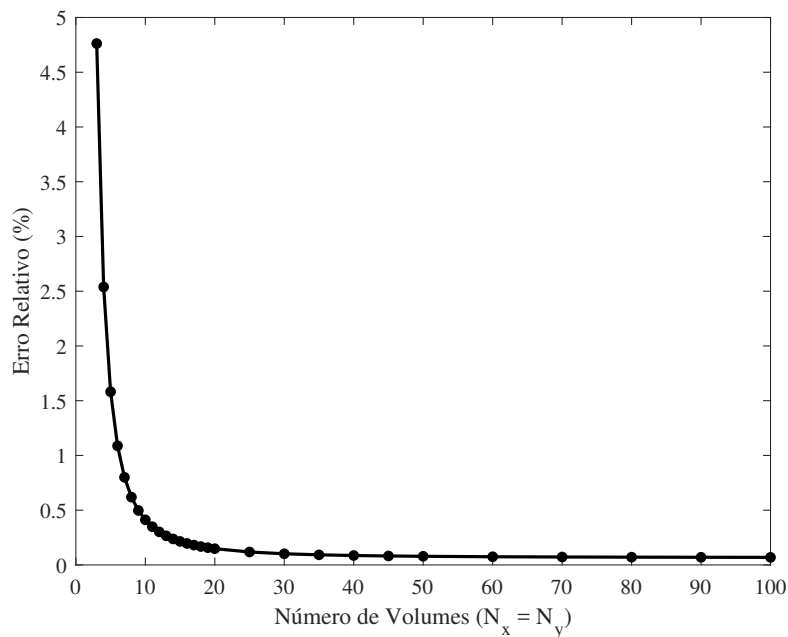
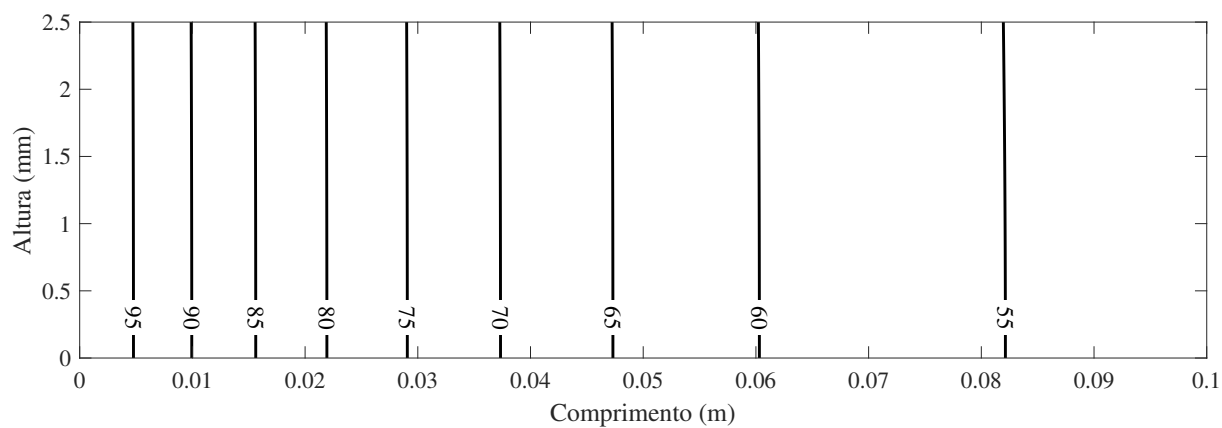


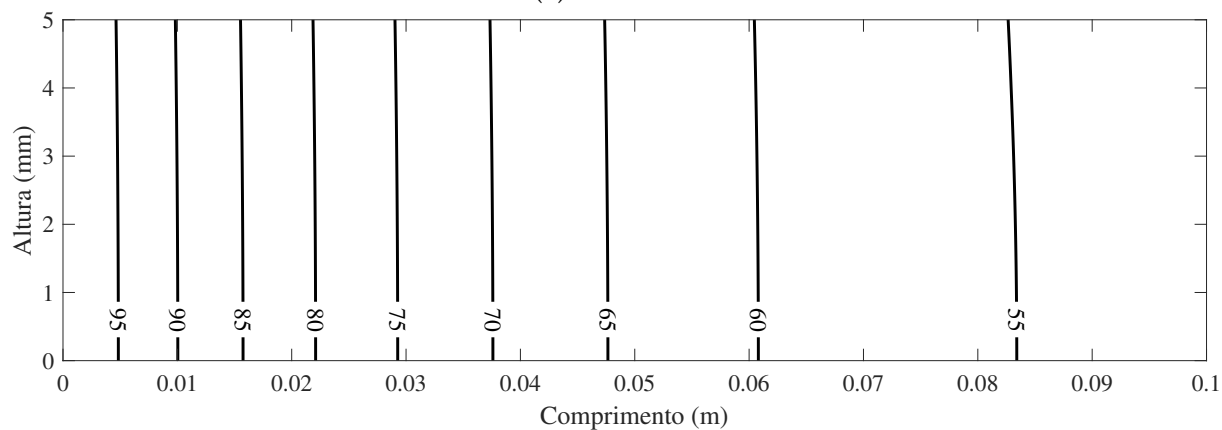
Figura 8: Erro relativo do calor trocado em função do número de volumes.

4 Conclusão

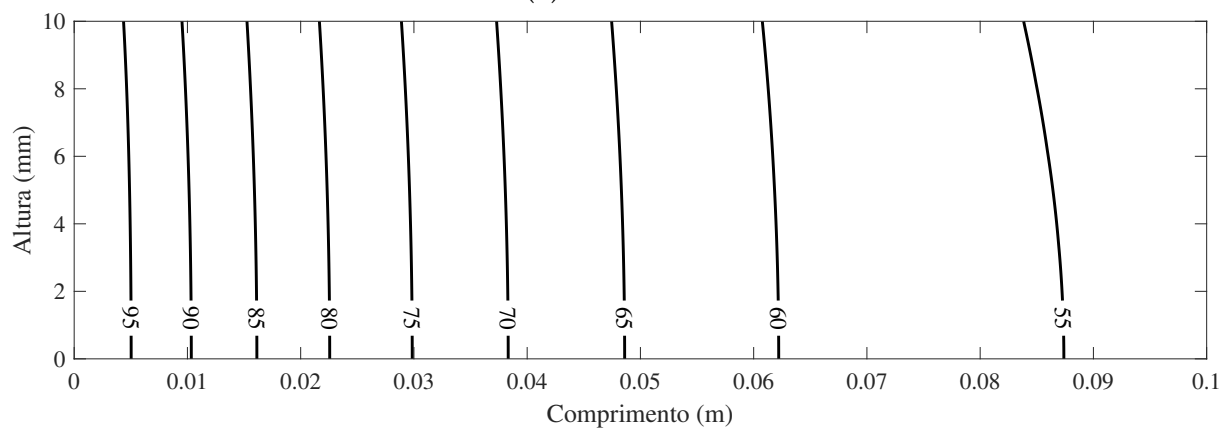
Neste trabalho foi implementado um programa utilizando o método dos volumes finitos para avaliar a condução bidimensional de calor em uma aleta plana retangular. Os resultados da distribuição de temperatura e calor trocado obtidos através do programa estavam de acordo com as soluções analíticas que aproximam para um problema de condução unidimensional. A validade da solução 1D foi comprovada ao analisar a variação de temperatura na direção transversal de aleta e concluindo que tal variação é desprezível para espessuras pequenas. Foi também investigado a validade da solução analítica para espessuras maiores, e foi observado que nas condições deste problema, para espessuras acima de 10 mm a hipótese de condução unidimensional não é mais válida.



(a) $t = 5$ mm

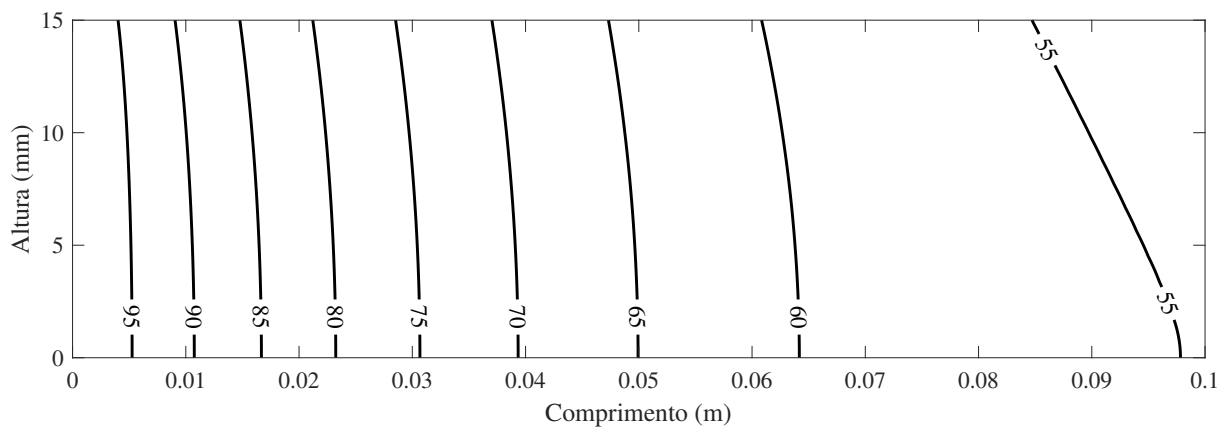


(b) $t = 10$ mm

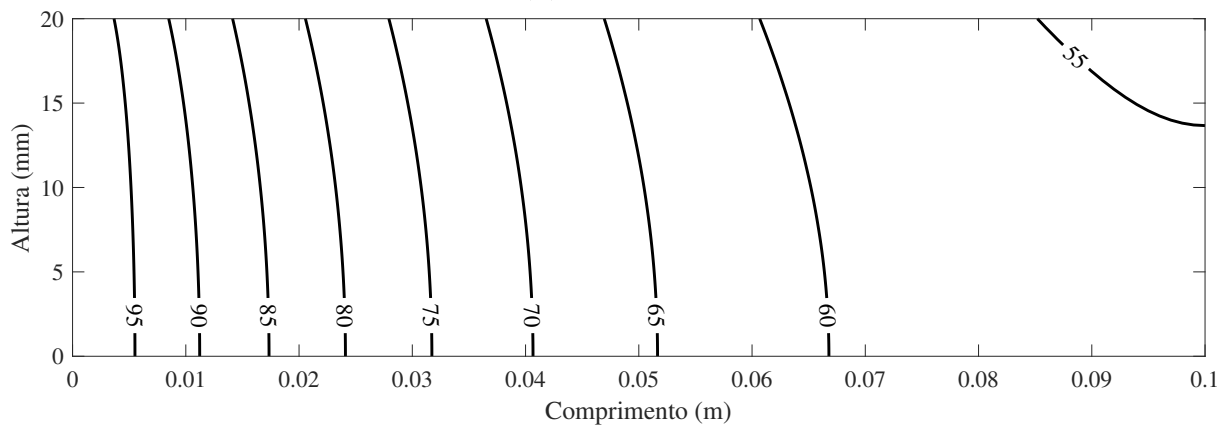


(c) $t = 20$ mm

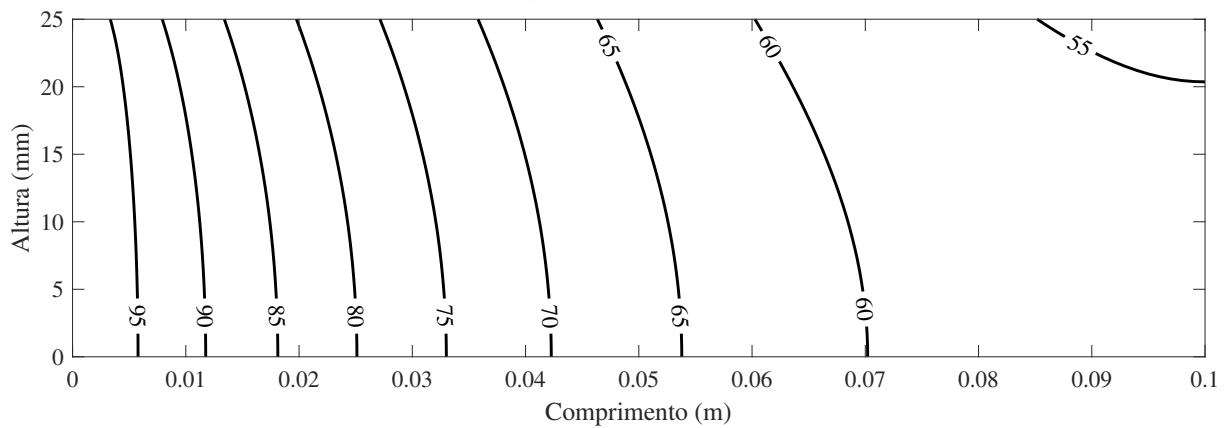
Figura 9: Isotermas para várias espessuras da aleta.



(d) $t = 30$ mm



(e) $t = 40$ mm



(f) $t = 50$ mm

Figura 9: Isotermas para várias espessuras da aleta.

5 Código

```
1 %% Constantes e Propriedades
2
3 k = 230; % Condutividade térmica [W/m K]
4 L.x = 0.10; % Comprimento em x [m]
5 L.y = 0.005 / 2; % Altura em y [m]
6 L.z = 1; % Espessura em z [m]
7 P = 2 * L.z + 2 * 2*L.y; % Perímetro da aleta [m]
8 Ac = L.z * 2*L.y; % Área da seção transversal [m^2]
9 T_b = 100; % Temperatura da base [°C]
10 T_inf = 20; % Temperatura do fluido [°C]
11 eta = 0.6; % Eficiência da aleta
12 % Resolver equação para encontrar h
13 m = @(h) sqrt(h * P / (k * Ac));
14 h = fzero(@(h) eta - tanh(m(h) .* L.x) ./ (m(h) .* L.x), 100);
15 m = m(h);
16 M = sqrt(h * P * k * Ac) * (T_b - T_inf);
17 q_f = M * tanh(m * L.x)/2; % Energia teórica [W]
18
19 %% Discretização
20
21 Nx = 10; % Elementos em x
22 Ny = Nx; % Elementos em y
23 N = Nx * Ny; % Total de elementos
24 grade = reshape(1:N, Nx, Ny)'; % Grade de índices da malha
25 dx = L.x / (Nx - 0.5); % Distância dos pontos em x [m]
26 dy = L.y / (Ny - 1); % Distância dos pontos em y [m]
27 x = dx/2:dx:L.x; % Coordenadas dos pontos em x [m]
28 y = 0:dy:L.y; % Coordenadas dos pontos em y [m]
29 face.x = [0:dx:L.x-dx/2, L.x]; % Coordenadas das faces em x [m]
30 face.y = [0, dy/2:dy:L.y-dy/2, L.y]; % Coordenadas das faces em y [m]
31 delta.x = repmat(diff(face.x), 1, Ny); % Espessura dos volumes em x [m]
32 delta.y = repelem(diff(face.y), Nx); % Espessura dos volumes em y [m]
33 area.W = delta.y .* L.z; % Área das faces oeste [m]
34 area.E = area.W; % Área das faces leste [m]
35 area.N = delta.x .* L.z; % Área das faces norte [m]
36 area.S = area.N; % Área das faces sul [m]
37 fronteira.W = grade(:, 1)'; % Índices da fronteira oeste
38 fronteira.E = grade(:, Nx)'; % Índices da fronteira leste
39 fronteira.N = grade(Ny, :); % Índices da fronteira norte
40 fronteira.S = grade(1, :); % Índices da fronteira sul
41
42 % Termos fonte (condições de contorno)
43 S_P = zeros(1, N);
44 S_P(fronteira.W) = S_P(fronteira.W) + ...
45     -k .* area.W(fronteira.W) ./ (0.5 .* dx);
46 S_P(fronteira.E) = S_P(fronteira.E) + ...
47     0 .* area.E(fronteira.E);
48 S_P(fronteira.N) = S_P(fronteira.N) + ...
49     -h .* area.N(fronteira.N);
50 S_P(fronteira.S) = S_P(fronteira.S) + ...
51     0 .* area.S(fronteira.S);
```

```

52
53 S_C = zeros(1, N);
54 S_C(fronteira.W) = S_C(fronteira.W) + ...
55     k .* area.W(fronteira.W) .* T_b ./ (0.5 .* dx);
56 S_C(fronteira.E) = S_C(fronteira.E) + ...
57     0 .* area.E(fronteira.E);
58 S_C(fronteira.N) = S_C(fronteira.N) + ...
59     h .* T_inf .* area.N(fronteira.N);
60 S_C(fronteira.S) = S_C(fronteira.S) + ...
61     0 .* area.S(fronteira.S);
62
63 b = S_C';    % Vetor de termos independentes
64
65 % Coeficientes a_e, a_w, a_n e a_s fora das fronteiras
66 for l = ["W", "E", "N", "S"]
67     a.(l) = zeros(1, N);
68     i = ~ismember(1:N, fronteira.(l)); % Termos fora da fronteira
69     if l == "W" || l == "E"
70         a.(l)(i) = k .* area.(l)(i) ./ dx;
71     else
72         a.(l)(i) = k .* area.(l)(i) ./ dy;
73     end
74     % Remover zeros do começo e final
75     a.(l) = a.(l)(find(a.(l), 1, 'first'):find(a.(l), 1, 'last'));
76 end
77
78 % Matriz de coeficientes (esparsa)
79 A = diag(-a.E, 1) + diag(-a.W, -1) + diag(-a.N, Nx) + diag(-a.S, -Nx);
80 a.P = -sum(A) - S_P;
81 A = sparse(A + diag(a.P));
82
83 %% Resolução e cálculo dos fluxos de calor
84
85 T = A\b;
86 q_in = sum(k.*area.W(fronteira.W).*(T_b-T(fronteira.W)') ./ (0.5.*dx));
87 q_out = sum(h .* (T(fronteira.N)' - T_inf) .* area.N(fronteira.N));
88 balanco = q_in - q_out;
89 erro = abs(q_out - q_f) / q_f;
90
91 %% Visualização
92 T = reshape(T, [], Ny);    % Reorganizar vetor em matriz
93 Tm = mean(T);              % Temperaturas médias em cada x
94
95 % Perfil de temperatura vs perfil exato
96 figure('Name', "Perfil de T")
97 X_an = linspace(0, L.x, 101);
98 T_an = T_inf + (T_b-T_inf) .* cosh(m.*(L.x-X_an)) ./ cosh(m.*L.x);
99 plot(x, Tm, 'ko', X_an, T_an, '-k', 'LineWidth', 1.25)
100 set(gca, 'FontName', 'Times New Roman', 'FontSize', 12)
101 legend("Numérico", "Exato")
102 xlabel("Comprimento (m)")
103 ylabel("Temperatura (°C)")
104 box on; grid on;

```

```

105
106 % Isotermas
107 figure('Name', "Isotermas", 'Position', [25 50 1000 300])
108 [X, Y] = meshgrid([0 x], y .* 1e3);
109 Tc = [T_b.*ones(Ny, 1) T];
110 [C, hn] = contour(X, Y, Tc, [50:5:95], ...
111                 'LineWidth', 1.5, 'LineColor', 'k');
112 clabel(C, hn, 'FontName', 'Times New Roman', 'FontSize', 12)
113 set(gca, 'FontName', 'Times New Roman', 'FontSize', 12)
114 xlabel("Comprimento (m)")
115 ylabel("Altura (mm)")
116
117 % Visualização da malha
118 figure('Name', "Malha", 'Position', [25 450 1000 300])
119 [Xf,Yf] = ndgrid(face.x, face.y .* 1e3);
120 plot(X, Y, 'ok', Xf, Yf, '-k', Xf, Yf, '-k', ...
121      'MarkerFaceColor', 'k');
122 X = repmat(x, [1 Ny]);
123 Y = repelem(y .* 1e3, Nx);
124 str = {string(1:N)};
125 text(X-0.001, Y+0.03, str{1}, 'FontName', 'Times New Roman')
126 set(gca, 'FontName', 'Times New Roman', 'FontSize', 12)
127 xlabel("Comprimento (m)")
128 ylabel("Altura (mm)")
129 ylim([0, L.y .* 1e3])
130 box on;

```